

## notebook\_5 (2)

July 28, 2025

In Notebook 5 wollen wir das Finite Elemente Paket **FEniCSx** nutzen. Eine Installationsanleitung sowie ein kleines Tutorial finden Sie im file `intro_dolfinx.ipynb`. In diesem Notebook gehen wir davon aus, dass Sie `dolfinx` bereits korrekt installiert haben und die folgenden Importe funktionieren:

```
[1]: from mpi4py import MPI
    from petsc4py import PETSc
    import dolfinx as dxf
    import dolfinx.fem.petsc
    import meshio
    import gmsh
    import ufl
    import numpy as np
    import matplotlib.pyplot as plt
    import pyvista

    dolfinx.__version__ # Es sollte Version 0.9.0 ausgegeben werden
```

```
[1]: '0.9.0'
```

## 1 Notebook 5 - Finite Elemente mit FEniCSx

Namen: Friedward Wenzler, Yueheng Li Erreichte Punktzahl: 65/10

## 2 Aufgabe 1: Poisson-Gleichung

6/4

### 2.1 a) Konvergenzverhalten in in 2D

In dieser Aufgabe wollen wir

$$\begin{aligned} -\nabla \cdot (\kappa \nabla u) &= f & \text{in } \Omega &= (0, 1) \times (0, 1), \\ u &= 0 & \text{auf } \partial\Omega \end{aligned}$$

mithilfe des FEM-Pakets **FEniCSx** lösen. Legen Sie dazu zunächst mit `gmsh` ein Gitter an. Vervollständigen Sie die Funktion `build_unit_square_mesh(comm, h)` und nutzen Sie innerhalb der Funktion den Aufruf `dolfinx.io.gmshio.model_to_mesh` um ihr Gitter in **FEniCSx** einzulesen.

```

[2]: from mpi4py import MPI
import dolfinx as dfx
import gmsh
from typing import Tuple, Callable, Union, List

COMM_WORLD = MPI.COMM_WORLD

def build_unit_square_mesh(comm: MPI.Intracomm, h: float) -> Tuple[dfx.mesh.
    ↪Mesh, dfx.mesh.MeshTags, dfx.mesh.MeshTags]:
    gmsh.initialize()
    gmsh.option.setNumber("General.Terminal", 0)

    # Create model
    model = gmsh.model()
    # Create points of the area, all with same granularity h
    a1 = model.geo.addPoint(0.0, 0.0, 0.0, h)
    a2 = model.geo.addPoint(1.0, 0.0, 0.0, h)
    a3 = model.geo.addPoint(1.0, 1.0, 0.0, h)
    a4 = model.geo.addPoint(0.0, 1.0, 0.0, h)
    # Create lines of the area
    l1 = model.geo.addLine(a1, a2)
    l2 = model.geo.addLine(a2, a3)
    l3 = model.geo.addLine(a3, a4)
    l4 = model.geo.addLine(a4, a1)
    # Create plane surface
    c1 = model.geo.addCurveLoop([l1, l2, l3, l4]) # defines boundary lines as
    ↪loop needed for defining surface
    p1 = model.geo.addPlaneSurface([c1])
    # physical group
    model.geo.addPhysicalGroup(1, [l1, l2, l3, l4], tag=1) # define boundary
    ↪lines as boundary, for tag of boundary nodes of generated mesh
    model.geo.addPhysicalGroup(2, [p1], tag=0) # define surface, all generated
    ↪nodes
    # Generate the mesh
    model.geo.synchronize()
    model.mesh.generate(2)

    # convert gmsh mesh to dolfinx mesh
    mesh, cell_markers, facet_markers = dfx.io.gmshio.model_to_mesh(
        model, comm, rank=0, gdim=2
    )
    gmsh.finalize()
    return mesh, cell_markers, facet_markers

h = 0.1
mesh, _, _ = build_unit_square_mesh(COMM_WORLD, h)

```

Wir legen uns zunächst ein kleines Testbeispiel an. Wir betrachten als Lösung den Ausdruck

$$u(x, y) = \sin^2(\pi x) \sin^2(\pi y)$$

und als Diffusionskoeffizient wählen wir

$$\kappa(x, y) = \exp(x + y).$$

Bestimmen Sie die rechte Seite so  $f$  so, dass  $u$  eine Lösung des obigen Problems ist und legen Sie die numpy und ufl Ausdrücke `u_np`, `u_ufl`, `kappa_ufl` und `f_ufl` entsprechend an.

```
[3]: # symbolic derivation of f for manufactured solution
import sympy as sp
from sympy.tensor.array import derive_by_array

x_sym, y_sym = sp.symbols('x, y')
u_sym = sp.sin(sp.pi * x_sym)**2 * sp.sin(sp.pi * y_sym)**2
kappa_sym = sp.exp(x_sym + y_sym)
grad_u_sym = derive_by_array(u_sym, (x_sym, y_sym))
kappa_grad_u_sym = kappa_sym * grad_u_sym
f_sym = -(sp.diff(kappa_grad_u_sym[0], x_sym) + sp.diff(kappa_grad_u_sym[1],
    ↪ y_sym))
print(sp.simplify(f_sym))
print(sp.simplify(sp.simplify(f_sym)))
print(sp.simplify(sp.simplify(sp.simplify(f_sym))))
```

```
2*pi*(4*pi*sin(pi*x)**2*sin(pi*y)**2 - pi*sin(pi*x)**2 -
sin(pi*x)*sin(pi*y)*sin(pi*(x + y)) - pi*sin(pi*y)**2)*exp(x + y)
-2*pi*(-4*pi*sin(pi*x)**2*sin(pi*y)**2 + pi*sin(pi*x)**2 +
sin(pi*x)*sin(pi*y)*sin(pi*(x + y)) + pi*sin(pi*y)**2)*exp(x + y)
-2*pi*(-4*pi*sin(pi*x)**2*sin(pi*y)**2 + pi*sin(pi*x)**2 +
sin(pi*x)*sin(pi*y)*sin(pi*(x + y)) + pi*sin(pi*y)**2)*exp(x + y)
```

```
[4]: u_np = lambda x: np.sin(np.pi * x[0])**2 * np.sin(np.pi * x[1])**2
u_ufl = lambda x: ufl.sin(ufl.pi * x[0])**2 * ufl.sin(ufl.pi * x[1])**2
kappa_ufl = lambda x: ufl.exp(x[0] + x[1])
f_ufl = lambda x: -2 * ufl.pi * (
    -4 * ufl.pi * ufl.sin(ufl.pi * x[0])**2 * ufl.sin(ufl.
    ↪ pi * x[1])**2
    + ufl.pi * ufl.sin(ufl.pi * x[0])**2
    + ufl.sin(ufl.pi * x[0]) * ufl.sin(ufl.pi * x[1]) * ufl.
    ↪ sin(ufl.pi * (x[0] + x[1]))
    + ufl.pi * ufl.sin(ufl.pi * x[1])**2
) * ufl.exp(x[0] + x[1])
```

Mit der Funktion `get_all_boundary_dofs` können Sie die benötigten DoFs auf dem Rand auslesen, um später die Randbedingungen zu assemblieren.

```
[5]: def get_all_boundary_dofs(V: dfx.fem.FunctionSpace) -> np.ndarray:
    tdim = V.mesh.topology.dim
    fdim = tdim - 1
    V.mesh.topology.create_connectivity(fdim, tdim)
    boundary_facets = dfx.mesh.exterior_facet_indices(V.mesh.topology)
    boundary_dofs = dfx.fem.locate_dofs_topological(V, fdim, boundary_facets)
    return boundary_dofs
```

Orientieren Sie sich an dem Notebook `intro_dolfinx.ipynb`, und schreiben Sie sich eine Methode `solve_Poisson`, welche obiges Problem numerisch löst.

```
[6]: def solve_Poisson(mesh: dfx.mesh.Mesh, kappa_ufl: Callable, f_ufl: Callable,
    ↪ fem_type : str="Lagrange", fem_degree : int=1) -> dfx.fem.Function:
    V = dfx.fem.functionspace(mesh, (fem_type, fem_degree)) # define finite
    ↪ element space, parameters specify the type of finite elements of the lecture

    # homogenous boundary condition
    boundary_dofs = get_all_boundary_dofs(V)
    uB = dfx.fem.Function(V)
    uB.x.array[:] = 0.0
    # with uB.localForm() as loc:
    #     loc.set(0)
    bc = dfx.fem.dirichletbc(uB, boundary_dofs)

    # define u and the test functions v as functions of the finite element space
    u = ufl.TrialFunction(V)
    v = ufl.TestFunction(V)

    x = ufl.SpatialCoordinate(V.mesh)
    kappa = kappa_ufl(x)
    f = f_ufl(x)

    a = dfx.fem.form(kappa * ufl.dot(ufl.grad(u), ufl.grad(v)) * ufl.dx) #
    ↪ bilinear
    rhs_form = dfx.fem.form(f * v * ufl.dx) # linear

    # assemble PETSc matrix
    A = dfx.fem.petsc.assemble_matrix(a, bcs=[bc])
    A.assemble()

    # create rhs vector, localForm is portion of processor
    b = dfx.fem.petsc.create_vector(rhs_form)
    # set values to zero
    with b.localForm() as loc_b:
        loc_b.set(0)
    # assemble vector
    dfx.fem.petsc.assemble_vector(b, rhs_form)
```

```

# Apply Dirichlet boundary condition to the vector
dfx.fem.petsc.apply_lifting(b, [a], [[bc]])
b.ghostUpdate(
    addv=PETSc.InsertMode.ADD_VALUES, mode=PETSc.ScatterMode.REVERSE
)
dfx.fem.petsc.set_bc(b, [bc])

# get a LinearSolver
solver = PETSc.KSP().create(V.mesh.comm)
solver.setOperators(A)
solver.setType(PETSc.KSP.Type.PREONLY)
solver.getPC().setType(PETSc.PC.Type.CHOLESKY)
uh = dfx.fem.Function(V) # approximation
solver.solve(b, uh.x.petsc_vec)
uh.x.scatter_forward()
return uh

```

Mit der folgenden Funktion `get_hmax` können Sie sich den größten Umkreisdurchmesser aller Gitterzellen zurückgeben lassen.

```

[7]: def get_hmax(mesh: dfx.mesh.Mesh) -> float:
    tdim = mesh.topology.dim
    c_map = mesh.topology.index_map(tdim)
    num_cells_local = c_map.size_local + c_map.num_ghosts
    cells = np.arange(num_cells_local, dtype=np.int32)
    hs = mesh.h(tdim, cells)
    return np.max(hs)

```

Erstellen Sie einen Konvergenzplot, der den Fehler der numerischen Lösung in Abhängigkeit von verschiedenen Werten für  $h$  sowie für die FEM-Polynomgrade 1, 2 und 3 zeigt. Verwenden Sie dabei die  $L^2$ -Norm als Fehlermaß und berücksichtigen Sie die unten angegebenen Parameter. Welche Konvergenzraten beobachten Sie?

```

[8]: def l2_error(u_np, uh, fem_type, fem_degree, mesh):
    Vhigherorder = dfx.fem.functionspace(mesh, (fem_type, fem_degree + 1))
    uex = dfx.fem.Function(Vhigherorder)
    uex.interpolate(u_np)
    L2_error = dfx.fem.form(ufl.inner(uh - uex, uh - uex) * ufl.dx)
    error_local = dfx.fem.assemble_scalar(L2_error)
    error_L2 = np.sqrt(mesh.comm.allreduce(error_local, op=MPI.SUM))

    if mesh.comm.rank == 0:
        return error_L2
    else:
        return

```

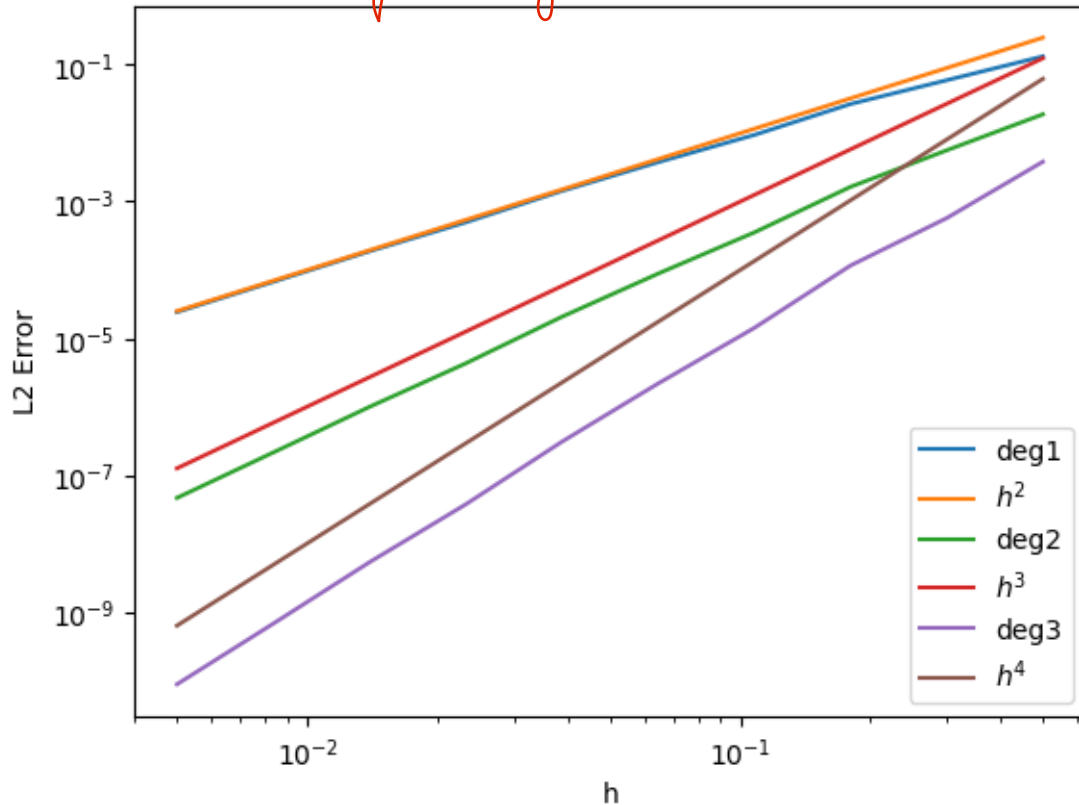
```

[9]: fem_type = "Lagrange"
    fem_degree = 1
    degree_raise = 1
    h_range = np.logspace(np.log(0.5), np.log(0.005), 10, base=np.e)
    hmax_range = []
    errors_l2 = {'deg1': [], 'deg2': [], 'deg3': []}
    for i, degree in enumerate(range(fem_degree, fem_degree + (len(errors_l2) - 1)
    ↪ * degree_raise + 1, degree_raise)):
        for h in h_range:
            mesh, _, _ = build_unit_square_mesh(COMM_WORLD, h)
            uh = solve_Poisson(mesh, kappa_ufl, f_ufl, fem_type, degree)
            errors_l2[f"deg{degree}"].append(l2_error(u_np, uh, fem_type, degree,
    ↪ mesh))

plt.loglog(h_range, errors_l2['deg1'], label="deg1")
plt.loglog(h_range, h_range**2, label="$h^2$")
plt.loglog(h_range, errors_l2['deg2'], label="deg2")
plt.loglog(h_range, h_range**3, label="$h^3$")
plt.loglog(h_range, errors_l2['deg3'], label="deg3")
plt.loglog(h_range, h_range**4, label="$h^4$")
plt.xlabel("h")
plt.ylabel("L2 Error")
plt.legend()
plt.show()

```

Ordnungslinien gestrichelt oder so, macht's klarer



<- Platz für Ihre Antwort ->

Für  $p=1$  der Fehler etwa  $h^2$  beträgt, für  $p=2$  etwa  $h^3$  und für  $p=3$  etwa  $h^4$



## 2.2 b) Vergleich verschiedener Löser in 3D

Das Paket FEniCSx bietet große Flexibilität, so können z.B. auch 3D Probleme ohne größeren Mehraufwand gelöst werden. Hierfür können Tetraedergitter genutzt werden.

In dieser Teilaufgabe betrachten wir

$$\begin{aligned} (\alpha I - \beta \Delta)u &= f & \text{in } \Omega &= (0,1)^3, \\ u &= 0 & \text{auf } \partial\Omega \end{aligned}$$

mit Parametern  $\alpha, \beta \geq 0$ . Wir nutzen dazu ein einfaches Gitter, welches wir von `dolfinx` direkt über `dolfinx.mesh.create_unit_cube` erzeugen können. In der nächsten Zelle müssen Sie lediglich die `system_form` korrekt anlegen.

```
[10]: comm = MPI.COMM_WORLD
      mesh = dfx.mesh.create_unit_cube(
          comm, 20, 20, 20, cell_type=dfx.mesh.CellType.tetrahedron
```

okay

```

)
V = dfx.fem.functionspace(mesh, ("Lagrange", 1))
uD = dfx.fem.Function(V)
# boundary condition
tdim = mesh.topology.dim
fdim = tdim - 1
mesh.topology.create_connectivity(fdim, tdim)
boundary_facets = dfx.mesh.exterior_facet_indices(mesh.topology)
boundary_dofs = dfx.fem.locate_dofs_topological(V, fdim, boundary_facets)
bc = dfx.fem.dirichletbc(uD, boundary_dofs)
alpha = dfx.fem.Constant(mesh, 1.0)
beta = dfx.fem.Constant(mesh, 1.0)
u = ufl.TrialFunction(V)
v = ufl.TestFunction(V)

system_form = dfx.fem.form(alpha * u * v * ufl.dx + beta * ufl.dot(ufl.grad(u),
↪ufl.grad(v)) * ufl.dx)

A = dfx.fem.petsc.assemble_matrix(system_form, bcs=[bc])
A.assemble()
x = ufl.SpatialCoordinate(V.mesh)
f = (
    -ufl.pi
    * ufl.pi
    * ufl.sin(ufl.pi * x[0])
    * ufl.sin(ufl.pi * x[0])
    * ufl.sin(ufl.pi * x[1])
    * ufl.sin(ufl.pi * x[1])
    * ufl.sin(ufl.pi * x[2])
    * ufl.sin(ufl.pi * x[2])
)
rhs_form = dfx.fem.form(f * v * ufl.dx)
uh = dfx.fem.Function(V)
b = dfx.fem.petsc.create_vector(rhs_form)
with b.localForm() as loc_b:
    loc_b.set(0)
dfx.fem.petsc.assemble_vector(b, rhs_form)
dfx.fem.petsc.apply_lifting(b, [system_form], bcs=[[bc]])
b.ghostUpdate(addv=PETSc.InsertMode.ADD, mode=PETSc.ScatterMode.REVERSE)
dfx.fem.set_bc(b, [bc])

```

Legen Sie nun sechs verschiedene PETSc.KSP Objekte an um die folgenden Löser miteinander zu vergleichen. - Direktes Lösen über LU-Zerlegung - Direktes Lösen über Cholesky-Zerlegung - Iteratives Lösen mit dem CG-Verfahren ohne Vorkonditionierung - Iteratives Lösen mit dem CG-Verfahren und Jacobi Vorkonditionierung - Iteratives Lösen mit dem CG-Verfahren und SOR Vorkonditionierung



ierung - Iteratives Lösen mit dem CG-Verfahren und ICC (unvollständige Cholesky) Vorkonditionierung

Nutzen Sie das Paket `timeit` um die durchschnittliche Zeit zum Lösen über 5 Runden mit je 10 Durchläufen zu testen (`-r 5 -n 10`). Rufen Sie vor den timings auf dem KSP Objekt die Funktion `KSP_object.setUp()` auf, damit die Zerlegungen und Vorkonditionierer bereits davor angelegt werden. Lösen Sie außerdem je einmal vor den timings, um den Einfluss von caching-Effekten zu reduzieren. Setzen Sie bei den iterativen Verfahren `a_tol` und `r_tol` auf  $10^{-5}$ .

Wenn Sie die Ergebnisse auch mit der Situation in 2D vergleichen wollen, können Sie dazu `dolfinx.mesh.create_unit_square` ganz analog benutzen.

```
[11]: import timeit
      from statistics import mean

      repeat = 5
      number = 10

      solver = PETSc.KSP().create(V.mesh.comm)
      solver.setOperators(A)

      print("lu")
      # lu
      solver.setType(PETSc.KSP.Type.PREONLY)
      solver.getPC().setType(PETSc.PC.Type.LU)
      solver.setUp()
      print("lol")
      solver.solve(b, uh.x.petsc_vec)
      print("LU: ", mean(timeit.repeat(lambda: solver.solve(b, uh.x.petsc_vec),
      ↪repeat=repeat, number=number)))

      # cholesky
      solver.getPC().setType(PETSc.PC.Type.CHOLESKY)
      solver.setUp()
      solver.solve(b, uh.x.petsc_vec)
      print("Cholesky: ", mean(timeit.repeat(lambda: solver.solve(b, uh.x.petsc_vec),
      ↪repeat=repeat, number=number)))

      # cg
      solver.setType(PETSc.KSP.Type.CG)
      solver.getPC().setType(PETSc.PC.Type.NONE)
      solver.setTolerances(atol=1e-5, rtol=1e-5)
      solver.solve(b, uh.x.petsc_vec)
      print("CG: ", mean(timeit.repeat(lambda: solver.solve(b, uh.x.petsc_vec),
      ↪repeat=repeat, number=number)))

      # cg jacobi
      solver.getPC().setType(PETSc.PC.Type.JACOBI)
```

```

solver.solve(b, uh.x.petsc_vec)
print("CG Jacobi: ", mean(timeit.repeat(lambda: solver.solve(b, uh.x.
    ↪petsc_vec), repeat=repeat, number=number)))

# cg sor
solver.getPC().setType(PETSc.PC.Type.SOR)
solver.solve(b, uh.x.petsc_vec)
print("CG SOR: ", mean(timeit.repeat(lambda: solver.solve(b, uh.x.petsc_vec), ↪
    ↪repeat=repeat, number=number)))

# cg icc
solver.getPC().setType(PETSc.PC.Type.ICC)
solver.solve(b, uh.x.petsc_vec)
print("CG ICC: ", mean(timeit.repeat(lambda: solver.solve(b, uh.x.petsc_vec), ↪
    ↪repeat=repeat, number=number)))

```

lu  
 lol  
 LU: 0.01863451742101461  
 Cholesky: 0.02001681518740952  
 CG: 0.021716082631610335  
 CG Jacobi: 0.028570071840658785  
 CG SOR: 0.02896404783241451  
 CG ICC: 0.0242639543954283

} #Iterationen wäre hilfreich

### 3 Aufgabe 2: Wellengleichung

1,5/5

Im Folgenden lösen wir die Wellengleichung

$$\begin{cases} \partial_{tt}u = \nabla \cdot (\kappa \nabla u) + f, & \text{in } \Omega \times (0, T], \\ u(x, y, t) = 0, & \text{auf } \Gamma \times (0, T], \\ u(x, y, 0) = u^0(x, y), & \text{in } \Omega, \\ \partial_t u(x, y, 0) = v^0(x, y), & \text{in } \Omega. \end{cases}$$

auf dem Einheitsquadrat  $\Omega = (0, 1)^2$  mit  $\Gamma = \partial\Omega$  und Endzeit  $T = 1$  mit dem  $\theta$ -Verfahren zur Zeitintegration, welches folgendermaßen definiert ist:

$$M \partial_\tau^2 u_h^n = -A u_h^{n,\theta} + b^{n,\theta}, \quad n = 1, \dots, N-1$$

mit

$$\partial_\tau^2 u_h^n = \frac{1}{\tau^2} (u_h^{n+1} - 2u_h^n + u_h^{n-1})$$

und

$$u_h^{n,\theta} = \theta u_h^{n+1} + (1 - 2\theta) u_h^n + \theta u_h^{n-1}$$

und  $b^{n,\theta}$  analog. Welche Verfahren erhalten Sie in den Fällen  $\theta = 0$  bzw.  $\theta = \frac{1}{4}$ ?

<- Platz für Ihre Antwort ->

$$\theta = 0$$

: Leapfrog Verfahren

$$\theta = 0.25$$

: Crank Nicolson Verfahren



Schreiben Sie sich zuerst eine Funktion `wave_startup` analog zu Abschnitt 15.6.2 (unter (15.41)) im Skript.

```
[13]: from typing import Union

def wave_startup(
    V: dfx.fem.FunctionSpace,
    u0: dfx.fem.Function,
    v0: dfx.fem.Function,
    bc: dfx.fem.bcs.DirichletBC,
    f0: Union[dfx.fem.Function, dfx.fem.Constant],
    f1: Union[dfx.fem.Function, dfx.fem.Constant], unser Fehler
    kappa: Union[dfx.fem.Function, dfx.fem.Constant],
    tau: float
) -> dfx.fem.Function:
    #  $u_h \sim 1$ 
    # create mass matrix
    u = ufl.TrialFunction(V)
    v = ufl.TestFunction(V)
    m = dfx.fem.form(u * v * ufl.dx)
    M = dfx.fem.petsc.assemble_matrix(m, bcs=[bc])
    M.assemble()
    # assemble A
    a = dfx.fem.form(kappa * ufl.dot(ufl.grad(u), ufl.grad(v)) * ufl.dx) #  $\hookrightarrow$ 
    bilinear
    A = dfx.fem.petsc.assemble_matrix(a, bcs=[bc])
    A.assemble()
    # create  $b_h \sim 0$ 
    #  $b\_form = dfx.fem.form(f0 * v * ufl.dx)$ 
    #  $b0 = dfx.fem.petsc.create\_vector(b\_form)$ 

    RHS = (u0 + tau * v0) * v * ufl.dx + tau**2 / 2 * (- kappa * ufl.dot(ufl.
     $\hookrightarrow$ grad(u0), ufl.grad(v)) * ufl.dx + f0 * v * ufl.dx)
    rhs_form = dfx.fem.form(RHS)

    # create rhs vector, localForm is portion of processor
    b = dfx.fem.petsc.create_vector(rhs_form)
    # set values to zero
    with b.localForm() as loc_b:
        loc_b.set(0)
    # assemble vector
    dfx.fem.petsc.assemble_vector(b, rhs_form)
```

```

# Apply Dirichlet boundary condition to the vector
dfx.fem.petsc.apply_lifting(b, [a], [[bc]])
b.ghostUpdate(
    addv=PETSc.InsertMode.ADD_VALUES, mode=PETSc.ScatterMode.REVERSE
)
dfx.fem.petsc.set_bc(b, [bc])

# get a LinearSolver
solver = PETSc.KSP().create(V.mesh.comm)
solver.setOperators(M)
solver.setType(PETSc.KSP.Type.PREONLY)
solver.getPC().setType(PETSc.PC.Type.CHOLESKY)
u1 = dfx.fem.Function(V) # approximation
# solver.solve(M @ u0 + tau * M @ v0 + (tau**2)/2 * (-A @ u0 + b), u1.x.
↪petsc_vec)
solver.solve(b, u1.x.petsc_vec)
u1.x.scatter_forward()
return u1

```

Wir legen uns wieder ein kleines Testbeispiel an. Wir betrachten als Lösung den Ausdruck

$$u(x, y, t) = \sin^2(\pi x) \sin^2(\pi y) \exp(t)$$

und als Materialparameter wählen wir

$$\kappa(x, y) = \exp(x + y).$$

Bestimmen Sie die rechte Seite so  $f$  so, dass  $u$  eine Lösung der Wellengleichung ist und legen Sie die numpy und ufl Ausdrücke `u_np`, `u_ufl`, `kappa_ufl` und `f_ufl` entsprechend an.

```

[14]: x_sym, y_sym, t_sym = sp.symbols('x y t')
u_sym = sp.sin(sp.pi * x_sym)**2 * sp.sin(sp.pi * y_sym)**2 * sp.exp(t_sym)
du_dt_sym = sp.diff(u_sym, t_sym, 1)
print(du_dt_sym)
kappa_sym = sp.exp(x_sym + y_sym)
du_dtt_sym = sp.diff(u_sym, t_sym, 2)
grad_u_sym = derive_by_array(u_sym, (x_sym, y_sym))
kappa_grad_u_sym = kappa_sym * grad_u_sym
f_sym = du_dtt_sym - (sp.diff(kappa_grad_u_sym[0], x_sym) + sp.
↪diff(kappa_grad_u_sym[1], y_sym))
print(f_sym)
print(sp.simplify(sp.simplify(f_sym)))
print(sp.simplify(sp.simplify(sp.simplify(f_sym))))

```

```

exp(t)*sin(pi*x)**2*sin(pi*y)**2
4*pi**2*exp(t)*exp(x + y)*sin(pi*x)**2*sin(pi*y)**2 - 2*pi*exp(t)*exp(x +
y)*sin(pi*x)**2*sin(pi*y)*cos(pi*y) - 2*pi**2*exp(t)*exp(x +
y)*sin(pi*x)**2*cos(pi*y)**2 - 2*pi*exp(t)*exp(x +
y)*sin(pi*x)*sin(pi*y)**2*cos(pi*x) - 2*pi**2*exp(t)*exp(x +

```

```

y)*sin(pi*y)**2*cos(pi*x)**2 + exp(t)*sin(pi*x)**2*sin(pi*y)**2
(8*pi**2*exp(x + y)*sin(pi*x)**2*sin(pi*y)**2 - 2*pi**2*exp(x + y)*sin(pi*x)**2
- 2*pi*exp(x + y)*sin(pi*x)*sin(pi*y)*sin(pi*(x + y)) - 2*pi**2*exp(x +
y)*sin(pi*y)**2 + sin(pi*x)**2*sin(pi*y)**2)*exp(t)
(8*pi**2*exp(x + y)*sin(pi*x)**2*sin(pi*y)**2 - 2*pi**2*exp(x + y)*sin(pi*x)**2
- 2*pi*exp(x + y)*sin(pi*x)*sin(pi*y)*sin(pi*(x + y)) - 2*pi**2*exp(x +
y)*sin(pi*y)**2 + sin(pi*x)**2*sin(pi*y)**2)*exp(t)

```

```

[15]: def u_np(t_eval):
    expr = lambda x: np.sin(np.pi * x[0])**2 * np.sin(np.pi * x[1])**2 * np.
    ↪exp(t_eval)
    return expr
initial_value = lambda x: u_np(0)(x)
initial_velocity = lambda x: u_np(0)(x)
def bnd_func(t_eval):
    expr = lambda x: 0.0 * x[0]
    return expr

u_ufl = lambda x: ufl.sin(ufl.pi * x[0])**2 * ufl.sin(ufl.pi * x[1])**2 * ufl.
    ↪exp(x[2])
kappa_ufl = lambda x: ufl.exp(x[0] + x[1])
def f_ufl(t_eval, x):
    exp_ufl = ufl.exp(x[0] + x[1])
    sin_x_ufl = ufl.sin(ufl.pi * x[0])
    sin_y_ufl = ufl.sin(ufl.pi * x[1])
    return ufl.exp(t_eval) * (
        8 * ufl.pi**2 * exp_ufl * sin_x_ufl**2 * sin_y_ufl**2
        - 2 * ufl.pi**2 * exp_ufl * sin_x_ufl**2
        - 2 * ufl.pi * exp_ufl * sin_x_ufl * sin_y_ufl * ufl.sin(ufl.pi * (x[0]
    ↪ x[1]))
        - 2 * ufl.pi**2 * exp_ufl * sin_y_ufl**2
        + sin_x_ufl**2 * sin_y_ufl**2)

```

Vervollständigen Sie die Funktion `plot_sol_pyvista`. Diese können Sie verwenden, um Snapshots Ihrer berechneten Lösung zu generieren. Dies wird insbesondere in Aufgabe 3 relevant werden.

```

[16]: def plot_sol_pyvista(V: dfx.fem.FunctionSpace, sol: dfx.fem.Function, filename:
    ↪str) -> None:
    # grid for pyvista
    tdim = V.mesh.topology.dim
    fdim = tdim - 1
    V.mesh.topology.create_connectivity(fdim, tdim)
    topology, cell_types, geometry = dfx.plot.vtk_mesh(V.mesh, tdim)
    grid = pyvista.UnstructuredGrid(topology, cell_types, geometry)
    grid.point_data["u"] = sol.x.array.real
    grid.set_active_scalars("u")
    # plot grid
    u_plotter = pyvista.Plotter()

```

```

u_plotter.add_mesh(grid, show_edges=True)
u_plotter.view_xy()
u_plotter.show(screenshot=f"{filename}.png")

```

Vervollständigen Sie die Funktion `solve_wave`, welche die obige Wellengleichung numerisch löst und als Zeitintegrationsverfahren das  $\theta$ -Verfahren nutzt.

```

[17]: from pathlib import Path
      from dolfinx.nls.petsc import NewtonSolver
      from ufl import Measure

def solve_wave(
    V: dfx.fem.FunctionSpace,
    boundary_dofs: np.ndarray,
    t0: float,
    T: float,
    num_steps: int,
    initial_value: Callable,
    initial_velocity: Callable,
    kappa_ufl: Callable,
    f: Callable,
    bnd_func: Callable,
    theta: float = 0.25,
    snapshots: List[int] = [],
) -> dfx.fem.Function:
    tau = (T - t0) / num_steps
    cool_mesh = V.mesh
    dx = Measure("dx", domain=V.mesh.ufl_domain())
    print(mesh.ufl_domain())
    x = ufl.SpatialCoordinate(cool_mesh)
    kappa = kappa_ufl(x)
    tn_minus = dolfinx.fem.Constant(cool_mesh, t0)
    tn = dolfinx.fem.Constant(cool_mesh, tau)
    tn_plus = dolfinx.fem.Constant(cool_mesh, 2*tau)
    expr_f_tn_minus = f(tn_minus, x)
    expr_f_tn = f(tn, x)
    expr_f_tn_plus = f(tn_plus, x)
    # homogenous boundary condition
    # boundary_dofs = get_all_boundary_dofs(V)
    uB = dfx.fem.Function(V)
    uB.interpolate(bnd_func(t0))
    bc = dfx.fem.dirichletbc(uB, boundary_dofs)
    # create bs
    u = ufl.TrialFunction(V)
    v = ufl.TestFunction(V)
    # create u0, u1, u2

```

```

u_n_minus = dfx.fem.Function(V)
u0 = dfx.fem.Function(V)
v0 = dfx.fem.Function(V)
u0.interpolate(initial_value)
v0.interpolate(initial_velocity)
f0_expr = dfx.fem.Expression(expr_f_tn_minus, V.element.
↪ interpolation_points(), comm=COMM_WORLD)
f0 = dfx.fem.Function(V)
f0.interpolate(f0_expr)
f1_expr = dfx.fem.Expression(f_ufl(tau, x), V.element.
↪ interpolation_points(), comm=COMM_WORLD)
f1 = dfx.fem.Function(V)
f1.interpolate(f1_expr) # why need f1
un_minus = u0
un = dfx.fem.Function(V)
un.interpolate(wave_startup(V, u0, v0, bc, f0, f1, kappa, tau)) # uh~1
un_plus = dfx.fem.Function(V)

RHS = (2 * un - un_minus) * v * dx - tau**2 * kappa * ufl.dot(ufl.grad((1 -
↪ 2 * theta) * un + theta * un_minus), ufl.grad(v)) * dx + tau**2 * ((1 - 2 *
↪ theta) * expr_f_tn + theta * expr_f_tn_minus) * v * dx # tau^2 ((1 - 2 *
↪ theta) b_h^n + theta * b_h^{n-1})
LHS = un_plus * v * dx + tau**2 * kappa * ufl.dot(ufl.grad(theta *
↪ un_plus), ufl.grad(v)) * dx - tau**2 * theta * expr_f_tn_plus * v * dx #
↪ -tau^2 * theta * b_h^{n+1}

t = t0 + tau
# solve nonlinear https://jsdokken.com/FEniCS-workshop/src/deep_dive/
↪ lifting.html
problem = dfx.fem.petsc.NonlinearProblem(RHS - LHS, un_plus, bcs=[bc])
solver = NewtonSolver(V.mesh.comm, problem)
# solver.convergence_criterion = "residual"
for n in range(1, num_steps):
    # t = t0 + (n+1)*tau
    t = t0 + n*tau
    # update tn
    tn_minus.value = t - tau
    tn.value = t
    tn_plus.value = t + tau
    # boundary conditions always 0

    solver.solve(un_plus)

    un_minus.x.array[:] = un.x.array
    un.x.array[:] = un_plus.x.array

    if n in snapshots:

```

Funktioniert  
für  $\theta=0$  nicht

Problem ist  
linear  
0 -7p  
zu hohe Werte

```

results_folder = Path("results")
results_folder.mkdir(exist_ok=True, parents=True)
filename = results_folder / f"wave_{n}"
plot_sol_pyvista(V, un, filename)

return un

h = 0.05
mesh, _, _ = build_unit_square_mesh(COMM_WORLD, h)
V = dfx.fem.functionspace(mesh, (fem_type, fem_degree))
boundary_dofs = get_all_boundary_dofs(V)
uh = solve_wave(
    V, boundary_dofs, 0.0, 1.0, 20, initial_value, initial_velocity,
    ↪ kappa_ufl, f_ufl, bnd_func
)
uh

```

<Mesh #33>

[17]: Coefficient(FunctionSpace(Mesh(blocked element (Basix element (P, triangle, 1, equispaced, unset, False, float64, []), (2,)), 33), Basix element (P, triangle, 5, gll\_warped, unset, False, float64, [])), 98)

Erstellen Sie einen Konvergenzplot, der den Fehler der numerischen Lösung in Abhängigkeit von verschiedenen Werten für  $h$  sowie für die FEM-Polynomgrade 1, 2 und 3 zeigt. Verwenden Sie dabei die  $L^2$ -Norm als Fehlermaß. Wählen Sie  $\theta = \frac{1}{4}$  und die unten aufgeführten Parameter. Erklären Sie was Sie sehen.

fehlt - 7P

[18]:

```

fem_type = "Lagrange"
fem_degree = 1
degree_raise = 1
h_range = np.logspace(np.log(0.5), np.log(0.005), 3, base=np.e)
t0 = 0.0
T = 1.0
num_timesteps = 250
errors_l2 = {'deg1': [], 'deg2': [], 'deg3': []}
errors_l2 = {'deg1': []}
hmax_range = []
for i, degree in enumerate(range(fem_degree, fem_degree + (len(errors_l2) - 1)
    ↪ * degree_raise + 1, degree_raise)):
    print(degree)
    for h in h_range:
        mesh, _, _ = build_unit_square_mesh(COMM_WORLD, h)
        V = dfx.fem.functionspace(mesh, (fem_type, degree))
        boundary_dofs = get_all_boundary_dofs(V)

```

etwas weniger



```

uh = solve_wave(V, boundary_dofs, t0, T, num_timesteps, initial_value,
↳initial_velocity, kappa_ufl, f_ufl, bnd_func)
errors_l2[f"deg{degree}"].append(l2_error(u_np(T), uh, fem_type,
↳degree, mesh))

plt.loglog(h_range, errors_l2['deg1'], label="deg1")
plt.loglog(h_range, h_range**2, label="$h^2$")
# plt.loglog(h_range, errors_l2['deg2'], label="deg2")
# plt.loglog(h_range, h_range**3, label="$h^3$")
# plt.loglog(h_range, errors_l2['deg3'], label="deg3")
# plt.loglog(h_range, h_range**4, label="$h^4$")
plt.xlabel("h")
plt.ylabel("L2 Error")
plt.legend()
plt.show()

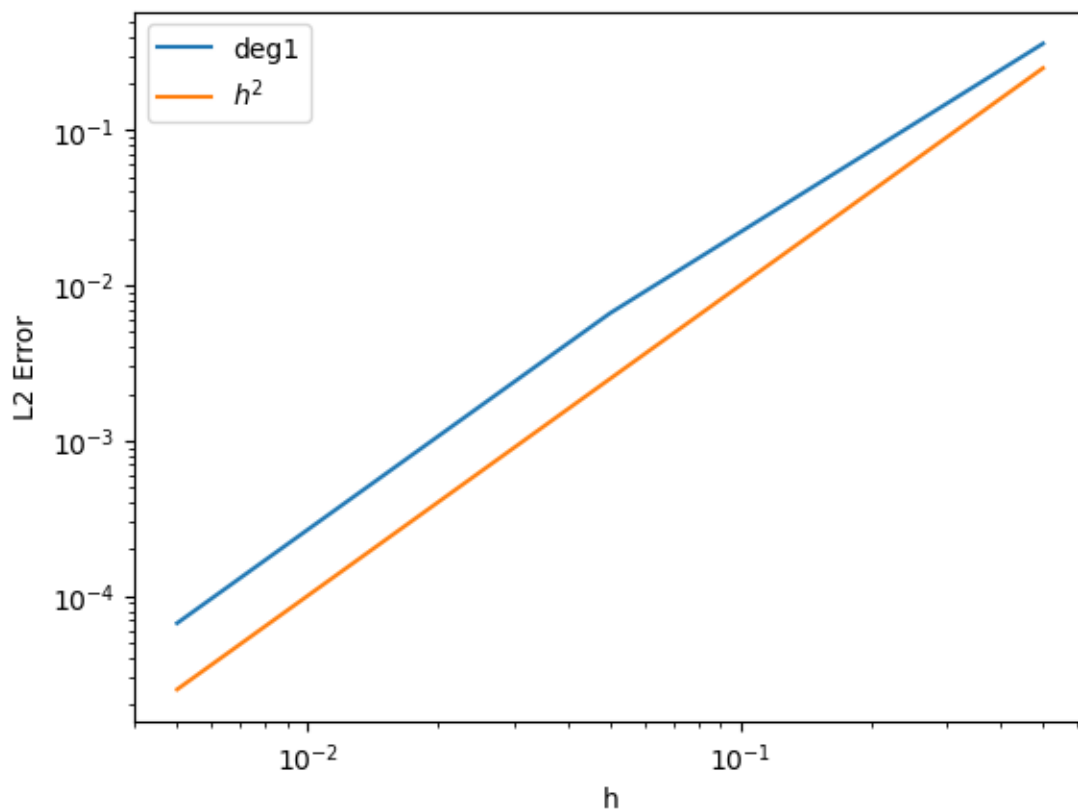
```

1

<Mesh #34>

<Mesh #35>

<Mesh #36>



<- Platz für Ihre Antwort ->

Für  $\theta=1/4$  ist die Ordnung 2

Erstellen Sie außerdem ein Konvergenzplot, der den Fehler der numerischen Lösung in Abhängigkeit von verschiedenen Werten für  $\tau$  und die Werte  $\theta \in \{0, \frac{1}{4}\}$  zeigt. Nutzen Sie die vorgegebenen Parameter und erklären Sie anschließend, was Sie beobachten.

```
[19]: fem_type = "Lagrange"
      fem_degree = 5
      degree_raise = 1
      h = 0.05
      t0 = 0.0
      T = 1.0
      num_timesteps = np.geomspace(200,2000,10,dtype=int)
      errors_l2 = {"theta0": [], "theta1/4": []}
      mesh, _, _ = build_unit_square_mesh(COMM_WORLD, h)
      V = dfx.fem.functionspace(mesh, (fem_type, degree))
      boundary_dofs = get_all_boundary_dofs(V)
      for i, theta in enumerate([0, 0.25]):
          for num_timestep in num_timesteps:
              print(num_timestep)
              uh = solve_wave(V, boundary_dofs, t0, T, num_timestep, initial_value,
              ↪ initial_velocity, kappa_ufl, f_ufl, bnd_func)
              errors_l2[list(errors_l2.keys())[i]].append(l2_error(u_np(T), uh,
              ↪ fem_type, degree, mesh))
              print(l2_error(u_np(T), uh, fem_type, degree, mesh))

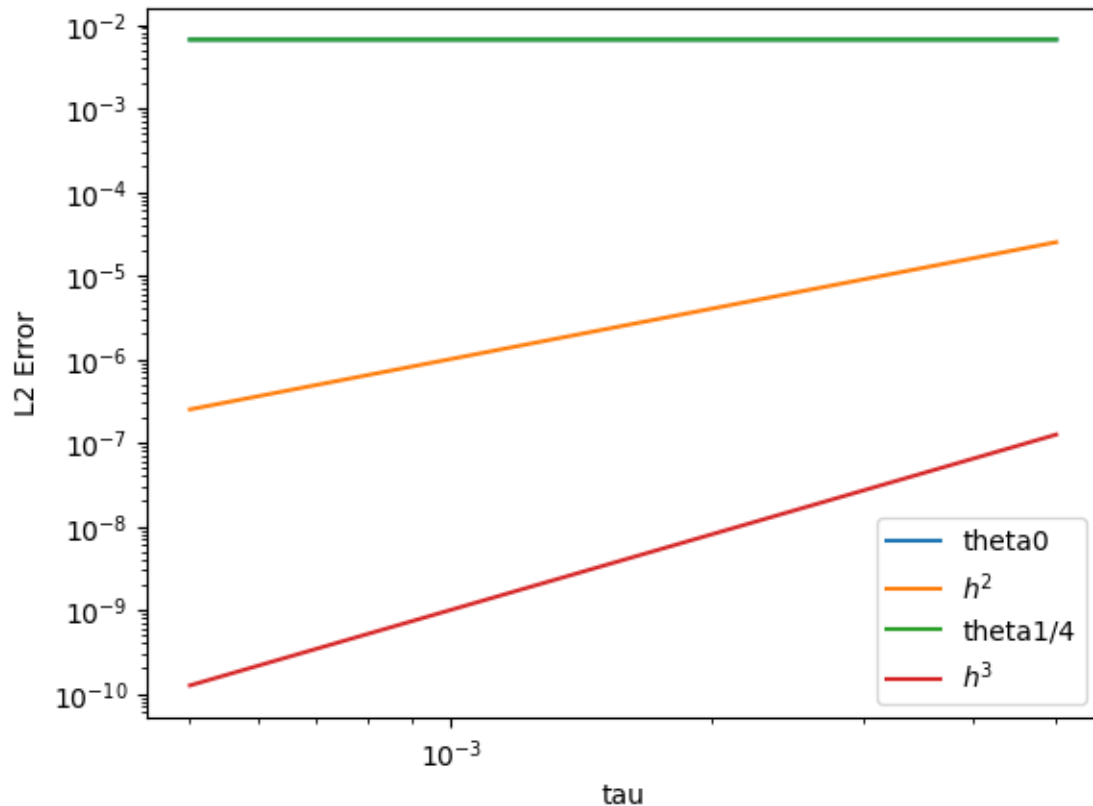
      taus = (T - t0) / num_timesteps
      plt.loglog(taus, errors_l2['theta0'], label="theta0")
      plt.loglog(taus, taus**2, label="$h^2$")
      plt.loglog(taus, errors_l2['theta1/4'], label="theta1/4")
      plt.loglog(taus, taus**3, label="$h^3$")
      plt.xlabel("tau")
      plt.ylabel("L2 Error")
      plt.legend()
      plt.show()
```

*fehler degree - 0,5p*  
*theta nicht verwendet - 0,5p*

```
200
<Mesh #37>
0.006610848835533364
258
<Mesh #37>
0.0066104764921560664
333
<Mesh #37>
0.0066102245654244465
430
<Mesh #37>
```

0.006610417822528752  
556  
<Mesh #37>  
0.006610692750107583  
718  
<Mesh #37>  
0.006610907316965735  
928  
<Mesh #37>  
0.006611056783978278  
1198  
<Mesh #37>  
0.00661116029070755  
1548  
<Mesh #37>  
0.006611236198372343  
2000  
<Mesh #37>  
0.0066112936411669284  
200  
<Mesh #37>  
0.006610848835533364  
258  
<Mesh #37>  
0.0066104764921560664  
333  
<Mesh #37>  
0.0066102245654244465  
430  
<Mesh #37>  
0.006610417822528752  
556  
<Mesh #37>  
0.006610692750107583  
718  
<Mesh #37>  
0.006610907316965735  
928  
<Mesh #37>  
0.006611056783978278  
1198  
<Mesh #37>  
0.00661116029070755  
1548  
<Mesh #37>  
0.006611236198372343  
2000  
<Mesh #37>

0.0066112936411669284



<- Platz für Ihre Antwort ->

theta=0, Ord=2 theta=1/4, Ord=3 *? - 0,5P*

#### 4 Aufgabe 3: Doppelspalt

*7/7*

Im Folgenden wollen wir uns noch ein Beispiel der Wellengleichung mit gemischten Randbedingungen anschauen. Dafür betrachten wir die Wellengleichung aus Aufgabe 2 auf einem etwas komplizierteren Gebiet, dessen Triangulierung in `double_slit.msh` gegeben ist. Des Weiteren betrachten wir die Daten  $\kappa = 1$ ,  $u_0 = v_0 = f = 0$  und die Randbedingungen

$$\begin{cases} u(x, y, t) &= \frac{1}{10\pi} \cos(10\pi t), & (x, y) \in \Gamma_D = \{0\} \times [0, 1], \\ \partial_n u(x, y, t) &= 0, & (x, y) \in \Gamma \setminus \Gamma_D. \end{cases}$$

Lesen Sie das Gitter mithilfe der Funktion `dolfinx.io.gmshio.read_from_msh` ein und plotten Sie es mit `pyvista`. Sie können sich dafür am Tutorial in `intro_dolfinx.ipynb` orientieren.

```
[146]: mesh, _ = dfx.io.gmshio.read_from_msh("double_slit.msh", COMM_WORLD)
# grid for pyvista
tdim = mesh.topology.dim
```

```

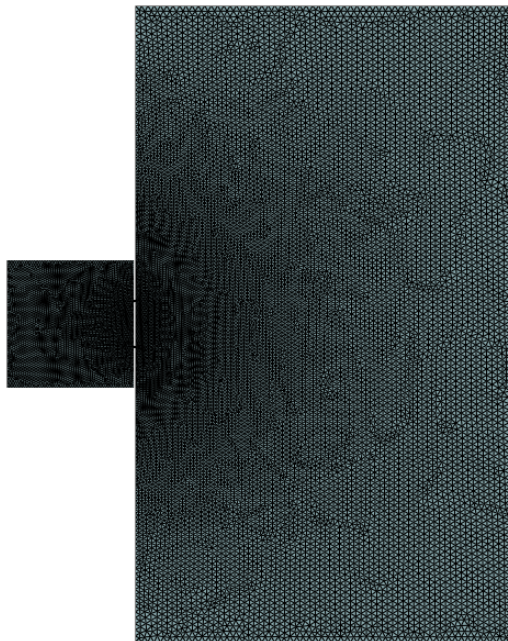
fdim = tdim - 1
mesh.topology.create_connectivity(tdim, tdim)
topology, cell_types, geometry = dfx.plot.vtk_mesh(mesh, tdim)
grid = pyvista.UnstructuredGrid(topology, cell_types, geometry)
# plot grid
u_plotter = pyvista.Plotter()
u_plotter.add_mesh(grid, show_edges=True)
u_plotter.view_xy()
u_plotter.show()

```

```

Info      : Reading 'double_slit.msh'...
Info      : 33 entities
Info      : 19102 nodes
Info      : 38204 elements
Info      : Done reading 'double_slit.msh'

```



Definieren Sie sich die benötigten Daten und rufen Sie `solve_wave` mit den gegebenen Parametern auf.

```
[147]: print("")
```

```
[148]: def inhom_bnd(x):
        return np.isclose(x[0], 0.0)
V = dfx.fem.functionspace(mesh, (fem_type, fem_degree))
inhom_bc_facets = dfx.mesh.locate_entities_boundary(mesh, fdim, inhom_bnd)
inhom_boundary_dofs = dfx.fem.locate_dofs_topological(V, fdim, inhom_bc_facets)
uB = dfx.fem.Function(V)
dirichlet_bc = dfx.fem.dirichletbc(uB, inhom_boundary_dofs) } unnotifizier
initial_value = lambda x: 0.0 * x[0] + 0.0 * x[1]
initial_velocity = lambda x: 0.0 * x[0] + 0.0 * x[1]
kappa = lambda x: 1.0 + ufl.as_ufl(0.0 * x[0] + 0.0 * x[1])
def f(t_eval, x):
    return ufl.as_ufl(0.0 * x[0] + 0.0 * x[1])
def bnd_func(t_eval):
    return lambda x: (1 / (10 * np.pi)) * np.cos(10 * np.pi * t_eval) + 0.0 * x
    ↪ x[0] + 0.0 * x[1]
```

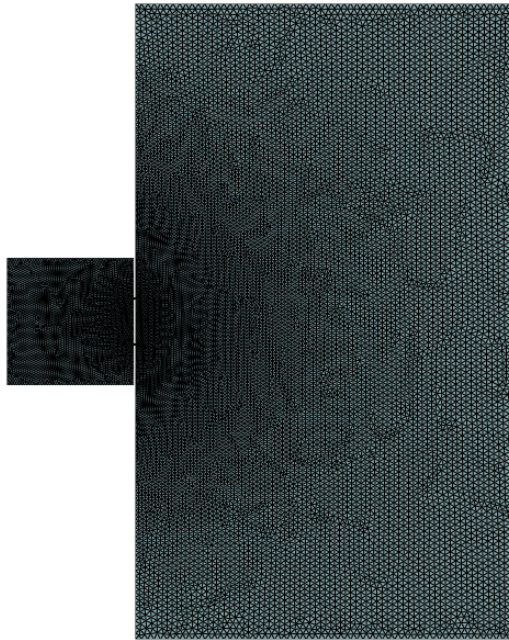
```
[ ]: t0 = 0.0
T = 10.0
num_timesteps = 10000
theta = 0.25
snapshots = [1000, 2000, 3000, 4000, 5000, 6000, 7000, 8000, 9000, 10000]

print(mesh)
print(mesh.ufl_domain())
uh = solve_wave(V, inhom_boundary_dofs, t0, T, num_timesteps, initial_value, u
    ↪ initial_velocity, kappa, f, bnd_func, theta, snapshots)
```

<dolfinx.mesh.Mesh object at 0x7f0ca0162d50>

<Mesh #124>

<Mesh #124>



falsche Ausgabe unter f.f.

[ ]: